

ИССЛЕДОВАНИЕ РАБОЧЕГО ПРОЦЕССА РАДИАЛЬНООСЕВОЙ  
ГИДРОТУРБИНЫ ДВОЙНОГО РЕГУЛИРОВАНИЯ

Канд. техн. наук доц. А. М. ГОХМАН,  
канд. техн. наук В. Г. САМСОНОВ

Настоящая статья посвящена анализу процесса регулирования мощности в радиальноосевой гидротурбине двойного регулирования (РОДР).

Введем следующие обозначения (рис. I):

$H$  - напор на турбине;

$Q$  - расход через рабочее колесо турбины;

$\eta$  - гидравлический к.п.д. турбины;

$W$  - относительная скорость;

$V$  - абсолютная скорость;

$V_m$  - меридианная составляющая абсолютной скорости потока;

$V_n$  - тангенциальная составляющая абсолютной скорости;

$U = 2\pi r n$  - переносная скорость;

$r$  - радиус любой точки в плане;

$\Delta b_0$  - переменная часть высоты направляющего аппарата,

$b_0' = b_{0\text{ мин}} + \Delta b_0$  - высота проточной части в зоне направляющего аппарата;

$D_1$  - диаметр турбины;

$n$  - частота вращения турбины;

$\beta_0$  - угол между средней линией выходного элемента лопатки направляющего аппарата в горизонтальном сечении и тангенциальным направлением;

$\alpha_0$  - открытие направляющего аппарата;

$\beta_2$  - угол между средней линией выходного элемента лопасти в сечении поверхностью тока и тангенциальным направлением;

$\alpha$  - угол между осью турбины и вектором абсолютной скорости потока;

$l = l_{\text{ мин}} + \Delta b_0$  - длина меридианальной проекции выходной кромки лопасти рабочего колеса с началом отсчета от нижнего обода;

$\theta_2$  - угол между поверхностью тока и нормалью к меридианальной проекции выходной кромки;

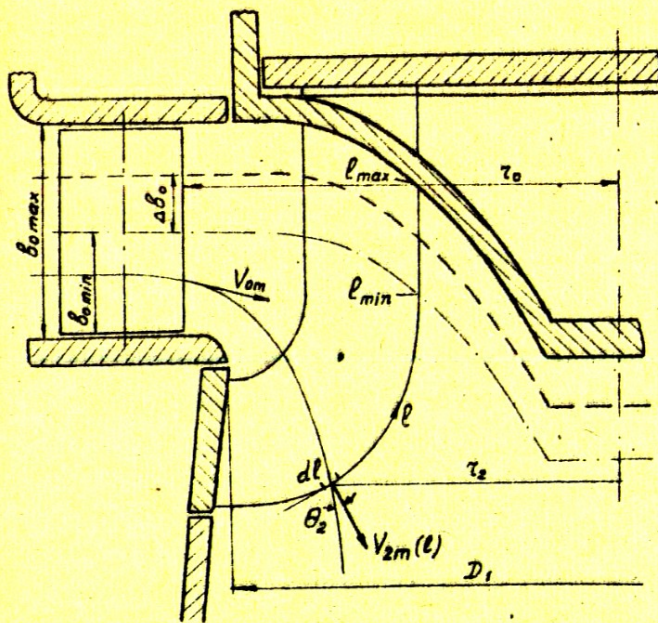


Рис. 1. Меридианальное сечение турбины РОДР

$n'_1$  и  $Q'_1$  - приведенные обороты и расход.

Индекс "ст" относится к ступице рабочего колеса, индекс "ср" относится к величинам, полученным при осреднении.

Индексы 0, I и 2 относятся соответственно к выходной кромке лопаток направляющего аппарата, входной и выходной кромкам лопастей рабочего колеса.

Черточка над буквой означает, что данная величина приведена к диаметру рабочего колеса, например  $\bar{b}_0 = \frac{b_0}{D_1}$ .

Анализ будем приводить для случая синхронного изменения направляющего аппарата и рабочего колеса, так что в проточной части нет уступа при входе в рабочее колесо.

Примем следующие допущения:

1. Момент скорости на входе в рабочее колесо равен моменту скорости на выходе из направляющего аппарата.

$$V_{0u} \tau_0 = V_{1u} \tau_1 .$$

Это допущение близко к действительности, так как в зоне между направляющим аппаратом и рабочим колесом поток осесимметричный и практически отсутствуют потери энергии [Л.1] .

2. Вектор абсолютной скорости  $V_0$  составляет с тангенциальным направлением угол  $\beta_0$  . Поток в направляющем аппарате равноскоростной по высоте. Это допущение справедливо для средних открытий направляющего аппарата, которые имеют место в зоне двойного регулирования турбины РОДР.

3. Вектор относительной скорости  $W_2$  составляет с тангенциальным направлением угол  $\beta_2$  . Это допущение практически точно выполняется для решеток с густотой  $l/t > 1,5$  [Л.2] , что имеет место в рабочем колесе турбины РОДР.

4. Поверхности тока являются поверхностями вращения. Это допущение принимается во всех современных гидродинамических расчетах рабочих колес гидротурбин [Л.2] .

5. К.п.д. всех элементарных турбинок  $\eta_3$  , образованных из решетки лопастей рабочего колеса поверхностями тока, одинаковы и равны к.п.д. турбины, т.е.  $\eta_3 = \eta$ .

6. В комбинаторном режиме

$n'_I$  и  $Q'_I$  - приведенные обороты и расход.

Индекс "ст" относится к ступице рабочего колеса, индекс "ср" относится к величинам, полученным при осреднении.

Индексы 0, I и 2 относятся соответственно к выходной кромке лопаток направляющего аппарата, входной и выходной кромкам лопастей рабочего колеса.

Черточка над буквой означает, что данная величина приведена к диаметру рабочего колеса, например  $\bar{b}_0 = \frac{b_0}{D_1}$ .

Анализ будем приводить для случая синхронного изменения направляющего аппарата и рабочего колеса, так что в проточной части нет уступа при входе в рабочее колесо.

Примем следующие допущения:

1. Момент скорости на входе в рабочее колесо равен моменту скорости на выходе из направляющего аппарата.

$$V_{0u} r_0 = V_{1u} r_1 .$$

Это допущение близко к действительности, так как в зоне между направляющим аппаратом и рабочим колесом поток осесимметричный и практически отсутствуют потери энергии [Л.1].

2. Вектор абсолютной скорости  $V_0$  составляет с тангенциальным направлением угол  $\beta_0$ . Поток в направляющем аппарате равноскоростной по высоте. Это допущение справедливо для средних открытий направляющего аппарата, которые имеют место в зоне двойного регулирования турбины РОДР.

3. Вектор относительной скорости  $W_2$  составляет с тангенциальным направлением угол  $\beta_2$ . Это допущение практически точно выполняется для решеток с густотой  $l/t > 1,5$  [Л.2], что имеет место в рабочем колесе турбины РОДР.

4. Поверхности тока являются поверхностями вращения. Это допущение принимается во всех современных гидродинамических расчетах рабочих колес гидротурбин [Л.2].

5. К.п.д. всех элементарных турбинок  $\eta_3$ , образованных из решетки лопастей рабочего колеса поверхностями тока, одинаковы и равны к.п.д. турбины, т.е.  $\eta_3 = \eta$ .

6. В комбинаторном режиме

$$\alpha_2 = \text{arctg} \frac{(V_{2u} \tau_2)_{\text{ср}}}{(V_{2m} \tau_2)_{\text{ср}}} = \text{const} .$$

Допущения 5 и 6 выдерживаются лишь в зоне двойного регулирования, которая характерна режимами, близкими к оптимальному.

Из рис. I видно, что расход через рабочее колесо выражается в следующем виде:

$$Q = 2\pi \int_0^l V_{2m} \tau_2 \cdot \cos \theta_2 \cdot dl . \quad (1)$$

Рассмотрим треугольник скоростей на выходе из рабочего колеса в произвольной точке выходной кромки (рис. 2). Учитывая допущение 3, получим

$$V_{2m} = (2\pi n \tau_2 - V_{2u}) \text{tg} \beta_2 . \quad (2)$$

Из (1) и (2) получаем

$$Q = 2\pi \int_0^l [2\pi n \tau_2^2 - V_{2u} \tau_2] \cos \theta_2 \text{tg} \beta_2 \cdot dl . \quad (3)$$

В свою очередь, по уравнению Эйлера для каждой элементарной турбинки с учетом допущения 1, 2 и 5 имеем

$$V_{0u} \tau_0 - V_{2u} \tau_2 = \frac{g \eta H}{2\pi n} . \quad (4)$$

То есть

$$Q = 2\pi \int_0^l \left( 2\pi n \tau_2^2 - V_{0u} \tau_0 + \frac{g \eta H}{2\pi n} \right) \cos \theta_2 \text{tg} \beta_2 \cdot dl . \quad (5)$$

Выразим  $V_{0u} \tau_0$  через расход, используя (2)

$$V_{0u} \tau_0 = \frac{Q}{2\pi b_0 \text{tg} \beta_0} . \quad (6)$$

Используя (3) и (5), получаем

$$Q = \int_0^l \left[ 4\pi^2 \tau_2^2 n - \frac{Q}{b_0 \text{tg} \beta_0} + \frac{g \eta H}{n} \right] \cos \theta_2 \text{tg} \beta_2 \cdot dl \quad (7)$$

или

$$Q = \frac{4\pi n \int_0^l \tau_2^2 \cos \theta_2 \text{tg} \beta_2 \cdot dl + \frac{g \eta H}{n} \int_0^l \cos \theta_2 \text{tg} \beta_2 \cdot dl}{1 + \frac{1}{b_0 \text{tg} \beta_0} \int_0^l \cos \theta_2 \text{tg} \beta_2 \cdot dl} . \quad (8)$$

Преобразуем (8), перейдя к приведенным величинам:

$$Q'_I = \frac{4\pi n'_I c_1 + \frac{gh}{n'_I} \cdot c}{1 + \frac{c}{\operatorname{tg} \beta_0 (\bar{b}_{0\text{мин}} + \Delta \bar{b}_0)}} \quad (9)$$

где

$$c_1 = \int_{\bar{b}_{\text{мин}} + \Delta \bar{b}_0}^{\bar{b}_0} \bar{r}_2^2 \cos \theta_2 \operatorname{tg} \beta_2 d\bar{r} \quad ; \quad (10)$$

$$c_1 = \int_0^{\bar{b}_{\text{мин}} + \Delta \bar{b}_0} \cos \theta_2 \operatorname{tg} \beta_2 d\bar{r} \quad . \quad (11)$$

Из формулы (9) видно, что двойное регулирование турбины РОДР можно осуществлять, варьируя параметры  $\Delta \bar{b}_0$  и  $\beta_0$  ( $\alpha_0$ ).

В рассматриваемой турбине из конструктивных соображений весьма существенную роль играют зоны одинарного регулирования, где изменяется только параметр  $\beta_0$ . Это регулирование осуществляется при максимальной и минимальной высотах проточной части. Между этими зонами находится область комбинаторного регулирования, где изменяются как величина открытия направляющего аппарата, так и высота проточной части.

Рассмотрим выражение для  $\operatorname{tg} \alpha_2$ . Так как выполняется (4), то

$$(V_{2u} r_2)_{\text{ср}} = V_{2u} r_2^2 = \text{const} \quad .$$

Используя (4) и (6), получим

$$V_{2u} r_2 = \frac{Q}{2\pi \bar{b}_0 \operatorname{tg} \beta_0} - \frac{g\eta H}{2\pi n} \quad (12)$$

В свою очередь, из (1) следует

$$(V_{2m} r_2)_{\text{ср}} = \frac{Q}{2\pi \int_0^{\bar{b}} \cos \theta_2 d\bar{r}} \quad (13)$$

Преобразуем (8), перейдя к приведенным величинам:

$$Q'_I = \frac{4\pi n'_I c_1 + \frac{g h}{n'_I} \cdot c}{1 + \frac{c}{\operatorname{tg} \beta_0 (\bar{v}_{0 \text{ мин}} + \Delta \bar{v}_0)}} \quad (9)$$

где

$$c_1 = \int_0^{\bar{v}_{\text{мин}} + \Delta \bar{v}_0} \bar{v}_2^2 \cos \theta_2 \operatorname{tg} \beta_2 d\bar{v} \quad ; \quad (10)$$

$$c_1 = \int_0^{\bar{v}_{\text{мин}} + \Delta \bar{v}_0} \cos \theta_2 \operatorname{tg} \beta_2 d\bar{v} \quad . \quad (11)$$

Из формулы (9) видно, что двойное регулирование турбины РОДР можно осуществлять, варьируя параметры  $\Delta \bar{v}_0$  и  $\beta_0 = \beta_0(a_0)$ .

В рассматриваемой турбине из конструктивных соображений весьма существенную роль играют зоны одинарного регулирования, где изменяется только параметр  $\beta_0$ . Это регулирование осуществляется при максимальной и минимальной высотах проточной части. Между этими зонами находится область комбинаторного регулирования, где изменяются как величина открытия направляющего аппарата, так и высота проточной части.

Рассмотрим выражение для  $\operatorname{tg} \alpha_2$ . Так как выполняется (4), то

$$(V_{2u} v_2)_{\text{ср}} = V_{2u} v_2^2 = \text{const} \quad .$$

Используя (4) и (6), получим

$$V_{2u} v_2 = \frac{Q}{2\pi v_0 \operatorname{tg} \beta_0} = \frac{g \eta H}{2\pi n} \quad (12)$$

В свою очередь, из (I) следует

$$(V_{2m} v_2)_{\text{ср}} = \frac{Q}{2\pi \int_0^{\bar{v}} \cos \theta_2 d\bar{v}} \quad (13)$$

$$\text{Обозначим } c_2 = \int_0^{\bar{l}} \cos \theta_2 d\bar{l} \quad (14)$$

Тогда, перейдя к приведенным величинам и используя (12), (13) и (14), получим окончательно:

$$\operatorname{tg} \alpha_2 = c_2 \left( \frac{1}{\bar{v}_0 \operatorname{tg} \beta_0} - \frac{g\eta}{n'_I Q'_I} \right) \quad (15)$$

Из (15) и (9) получаем

$$Q'_I = \frac{4\pi^2 n'_I c_1 + \frac{g\eta}{n'_I} \cdot c}{1 + c \left( \operatorname{tg} \alpha_2 / c_2 + \frac{g\eta}{n'_I Q'_I} \right)}, \quad (16)$$

или

$$Q'_I = \frac{4\pi^2 n'_I c_1}{1 + \frac{c}{c_2} \operatorname{tg} \alpha_2} \quad (17)$$

Преобразуем интегралы, выражающие  $c_1$ , используя I-ю теорему о среднем [Л.1], а также то обстоятельство, что при  $\Delta \bar{v}_0 = \nu a \tau$  величины  $Q_2$ ,  $\beta_2$  и  $\tau_2$  треугольников скоростей, лежащих в поверхности тока, образованных регулируемой ступицей, остаются постоянными:

$$c_1 = \bar{l}_{\text{мин}} (\bar{\tau}_2^2 \cos \theta_2 \operatorname{tg} \beta_2)_{\text{ср}} + \Delta \bar{v}_0 (\cos \theta_2 \operatorname{tg} \beta_2 \bar{\tau}_2^2)_{\text{ст}} \quad (18)$$

В свою очередь, по 2-й теореме о среднем выразим величину  $c/c_2$  как

$$\frac{c}{c_2} = \frac{\int_0^{\bar{l}} \cos \theta_2 \operatorname{tg} \beta_2 d\bar{l}}{\int_0^{\bar{l}} \cos \theta_2 d\bar{l}} = (\operatorname{tg} \beta_2)_{\text{ср}} \quad (19)$$

Используя (17), (18), и (19) получим

$$Q'_I = \frac{4\pi^2 n'_I (\bar{\tau}_2^2 \operatorname{tg} \beta_2 \cos \theta_2)_{\text{ср}} \bar{v}_{0 \text{ мин}}}{1 + \operatorname{tg} \alpha_2 (\operatorname{tg} \beta_2)_{\text{ср}}} \quad (20)$$

$$\cdot \left[ \lambda + \frac{\Delta \bar{v}_0 [\cos \theta_2 \operatorname{tg} \beta_2 \bar{\tau}_2^2]_{\text{ст}}}{\bar{v}_{0 \text{ мин}} [\cos \theta_2 \operatorname{tg} \beta_2 \bar{\tau}_2^2]_{\text{ср}}} \right],$$



где 
$$\lambda = \frac{\bar{v}_{\text{мин}}}{\bar{v}_0 \text{ мин}}$$

Проанализируем формулы (17) и (20).  
Из уравнения (17) видно, что при  $\bar{v}_0 = \text{const}$   
 $c_1 = \text{const}$ ;  $c/c_2 = \text{const}$  - с точностью до изменения поверхностей тока, которые в РО-турбинах при изменениях режимов меняются незначительно. Если учесть (6), то получим, что линии  $\bar{v}_0 = \text{const}$  представляют собой прямые линии, проходящие через начало координат ( $Q'_I = 0$ ;  $n'_I = 0$ ).

Из формулы (20) можно представить, на сколько сдвигаются линии  $\bar{v}_{0 \text{ макс}}$  относительно  $\bar{v}_{0 \text{ мин}}$  при регулировании по  $Q'_I$  в зависимости от различных геометрических параметров лопастной системы.

В формуле (20) при фиксированных  $n'_I$  первый множитель изменяется незначительно, так как  $\text{tg } \alpha_2 = \text{const}$  величины  $(\bar{v}_2^2, \text{tg } \beta_2, \cos \theta_2)_{\text{ср } \bar{v}_{0 \text{ мин}}}$  относятся к минимальному пропеллеру и с точностью до изменения поверхностей тока являются постоянными. Изменяется только величина  $(\text{tg } \beta_2)$ , причем в незначительных пределах.

Для разных турбин с одинаковым отношением  $\frac{\Delta \bar{v}_{\text{ макс}}}{\bar{v}_{0 \text{ мин}}}$  изменение расхода  $\Delta Q'_I$  будет определяться величиной и отношением

$$K = \frac{(\cos \theta_2 \cdot \text{tg } \beta_2 \cdot \bar{v}_2^2)_{\text{ср}}}{(\cos \theta_2 \cdot \text{tg } \beta_2 \cdot \bar{v}_2^2)_{\text{ср}}} \quad (21)$$

При этом сдвигка по расходу будет тем больше, чем меньше  $\lambda$  и чем больше  $K$ . Величина  $\lambda$  характеризует собой диффузорность рабочего колеса, а величина  $K$  - эпюру меридианальных скоростей вдоль выходной кромки. Из выражения (21) видно, что поток с увеличенными меридианальными скоростями у регулируемой ступицы дает наибольшее приращение расхода при регулировании  $\bar{v}_0$ .

В поворотлопастных турбинах оптимальным пропелле-

ром является какой-то средний по углу установки лопастей  $\varphi$  и при его проектировании не принимают во внимание изменение расхода при изменении  $\varphi$ , так как конструктивно допустимый диапазон изменения  $\varphi$  является достаточным для получения заданной зоны комбинаторного регулирования. В турбине РОДР оптимальным пропеллером является пропеллер при  $\bar{b}_0 = \bar{b}_{0 \text{ мин}}$  и диапазон  $\Delta \bar{b}_0$  невелик по конструктивным соображениям. В связи с этим при проектировании оптимального пропеллера надо стремиться к необходимым значениям  $K$  и  $\lambda$  с точки зрения величины комбинаторной зоны регулирования.

Формула (20) позволяет в первом приближении провести необходимый анализ в процессе проектирования лопастной системы турбин РОДР.

#### Л и т е р а т у р а

1. Колтон А.Ю., Этинберг И.Э., Основы теории и гидродинамического расчета водяных турбин, М.-Л., Машгиз, 1958.
2. Викторов Г.В., Гидродинамическая теория решеток, М. "Наука", 1969.
3. Фихтенгольц Р.М., Курс дифференциального и интегрального исчисления, т. II, М., "Наука", 1969.